

*Российская академия наук*

# **ПРИБОРЫ И ТЕХНИКА ЭКСПЕРИМЕНТА**

**№ 1 2012 Январь–Февраль**

Основан в августе 1956 г. Выходит 6 раз в год  
ISSN: 0032-8162

## **ЖУРНАЛ “ПРИБОРЫ И ТЕХНИКА ЭКСПЕРИМЕНТА” ПУБЛИКУЕТ**

1. Обзоры по различным областям физических измерений.
2. Оригинальные сообщения, содержащие описания принципов действия, конструкций, методов применения или анализа работы различных физических приборов, а также методик исследования во всех областях экспериментальной физики.
3. Обзоры материалов конференций и симпозиумов или подборки статей по представленным на них докладам, отвечающих профилю и требованиям журнала. Порядок публикации таких материалов должен быть предварительно согласован соответствующим оргкомитетом и редакцией ПТЭ.
4. Комментарии, содержащие дискуссию по существу статей, опубликованных ранее в ПТЭ, и ответы авторов.
5. В разделе “Приборы, изготовленные в лабораториях” — краткую информацию о новых физических приборах и материалах, используемых при проведении экспериментов. Эта информация обязательно сопровождается адресом для запроса, по которому может быть получена полная информация.
6. Рекламные объявления о новых физических приборах и материалах, предназначенных для коммерческой реализации.

Содержание и оформление статей должно полностью удовлетворять Правилам журнала, приведенным в конце номера и подробно разъясненным в “Рекомендациях авторам по подготовке статей к печати”, ПТЭ № 1, 2010 г.

## **ВНИМАНИЮ АВТОРОВ**

Для опубликования в журнале авторы статей должны представить в редакцию договор о передаче авторского права, бланк которого размещен на сайте [www.maik.ru](http://www.maik.ru).

Журнал издается под руководством  
Отделения физических наук РАН

*Главный редактор*  
Б.С. Эдельман

### Редакционная коллегия:

Д.Ю. Акимов, С.Г. Басиладзе,  
В.В. (заместитель главного редактора),  
А.П. Володин,  
И.И. Гриев, С.В. Зайцев-Зотов, С.Г. Конников,  
Д.Деглин, В.Н. Мордкович, Г.Г. Сихарулидзе,  
А.И. Еремисин (ответственный секретарь), Г.В. Якопов  
и Е.А. Баталья Владимировна Клевцова  
г. Москва, В-485, Профсоюзная ул., 90, тел. 334-80-07  
e-mail: instr@maik.ru

**Москва**  
**Издательство “Наука”**  
Подписано в печать  
в МАИК “Наука/Интерperiодика”

# СОДЕРЖАНИЕ

Номер 1, 2012

## ТЕХНИКА ЯДЕРНОГО ЭКСПЕРИМЕНТА

Адаптивный гамма-спектрометр с высокой скоростью обработки событий

*А. А. Иванова, В. И. Алейник, С. В. Иваненко,  
А. Н. Квашнин, Е. А. Пурыга, А. Ф. Ровенских,  
Ю. С. Суляев, А. Д. Хильченко*

5

Светодиодная мониторная система фотонного спектрометра PHOS  
в эксперименте ALICE на Большом адронном коллайдере

*М. Ю. Боголюбский, Д. И. Паталаха, В. С. Петров,  
Б. В. Полищук, А. С. Соловьев, С. А. Садовский,  
В. А. Сенько, Ю. В. Харлов*

16

Высокоселективный спектрометр бета-частиц

*[В. Ф. Апалин], К. А. Балыгин, В. И. Зайцев,  
М. Д. Каретников, А. И. Климов, В. И. Копейкин,  
Е. А. Мелецко, А. А. Сабельников*

28

Использование катодной поверхности строу-трубки для измерения координат  
трека вдоль проволочки

*Н. А. Кучинский, В. А. Баранов, Ф. Е. Зязюля,  
А. С. Коренченко, Н. П. Кравчук, С. А. Мовчан,  
В. С. Смирнов, Н. В. Хомутов, В. А. Чеховский*

32

Модуль кремниевого трекового детектора эксперимента CLAS12

*Д. Е. Карманов, М. М. Меркин, С. В. Рогожин*

35

Измерение концентрации изотопа  $^{14}\text{C}$  в жидком органическом  
сцинтилляторе на установке малого объема

*C. Buck, O. Besida, C. M. Cattadori, F. X. Hartmann,  
Th. Lasserre, [D. Motta], A. di Vacri, L. Pandola,  
S. Schoenert, U. Schwan, И. Р. Барабанов,  
Л. Б. Безруков, Н. А. Данилов, Е. А. Янович*

40

## ПРИМЕНЕНИЕ ВЫЧИСЛИТЕЛЬНОЙ ТЕХНИКИ В ЭКСПЕРИМЕНТЕ

Применение цифровых регистраторов изображений в системах диагностики пучка

*В. Р. Грошев, В. Ф. Казанин,  
А. В. Оттмар, М. Г. Федотов, А. С. Цыганов*

44

## **ЭЛЕКТРОНИКА И РАДИОТЕХНИКА**

Цифровой нановольтметр

*B. K. Игнатьев, A. B. Никитин, C. B. Перченко, D. A. Станкевич*

50

Двуполярный импульсный генератор ГИД-25 для питания элементов канала транспортировки пучка К500

*B. B. Ращенко*

56

Перестраиваемые квазиоптические делители мощности миллиметрового диапазона длин волн

*G. С. Воробьев, M. B. Петровский, A. A. Рыбалко, Ю. В. Шульга*

64

Микроволновый четырехканальный нулевой радиометр L-диапазона

*A. B. Филатов, A. B. Убайчин, D. E. Параев*

67

---

## **ОБЩАЯ ЭКСПЕРИМЕНТАЛЬНАЯ ТЕХНИКА**

Модернизированный источник ионов для масс-спектрометра

*A. H. Завилупуло, Е. А. Миронец, А. С. Агафонова*

73

Амплитуда и длительность импульса тока сверхкороткого лавинного электронного пучка при разряде в воздухе атмосферного давления

*И. Д. Костыря, Д. В. Рыбка, В. Ф. Тарасенко*

80

Автоматизированный двухфотонный сканирующий микроскоп

*C. B. Семин, A. B. Кудрявцев, Е. Д. Мишина*

86

Нанографитовый анализатор поляризации лазерного излучения

*Г. М. Михеев, В. М. Степшин*

93

Высокоэнергетический YAG:Nd<sup>3+</sup>-лазер с нарушением когерентности излучения в световоде

*C. A. Батище, A. A. Кузьмук, Г. А. Татур*

98

Background Subtraction Practice in X-ray Reflectivity Reciprocal Space Mapping and Its Influence on the Structural Parameters of Thin Films

*A. Fouzri, F. Salah, N. Mtiraoui, B. Harzallah, M. Oumezzine*

104

Четырехзондовый метод совместных измерений компонент тензора удельной электропроводности и коэффициента Холла анизотропных полупроводниковых пленок

*B. B. Филиппов*

112

---

## МИКРОВОЛНОВЫЙ ЧЕТЫРЕХКАНАЛЬНЫЙ НУЛЕВОЙ РАДИОМЕТР Л-ДИАПАЗОНА

© 2012 г. А. В. Филатов, А. В. Убайчин, Д. Е. Параев

Томский государственный университет систем управления и радиоэлектроники

Россия, 634050, Томск, просп. Ленина, 40

Поступила в редакцию 10.05.2011 г.

Рассмотрен принцип построения многоканальных радиометрических систем, основанный на нулевом методе измерений. Описан четырехканальный (четырехприемниковый) микроволновый радиометр дециметрового диапазона длин волн, в котором используются два вида импульсной модуляции — амплитудная и широтная. Рассмотрен процесс его внутренней калибровки по двум эталонам. Радиометр обладает в два раза более высокой флуктуационной чувствительностью, чем одноканальная схема, и большей надежностью.

В [1, 2] рассмотрен двухканальный радиометр, в основу работы которого положена модификация метода нулевого приема [3]. Авторегулирование нулевого баланса в каналах радиометра осуществляется с применением синхронно выполняемых широтной и амплитудной импульсных модуляций. В результате между длительностью управляющего широтно-импульсной модуляцией сигнала и сигналом антенны устанавливается линейная связь и радиометр инвариантен к изменениям коэффициента усиления каналных трактов и постоянной составляющей их собственных шумов.

Многоканальными (многоприемниковыми) схемами решаются задачи повышения чувствительности и динамических свойств радиометров [4]. Если организовать работу измерительных каналов в одной полосе приема параллельно, то чувствительность совокупной системы повышается пропорционально корню квадратному из числа каналов. В другом случае при необходимости выполнить спектральные измерения в реальном масштабе времени каналы функционируют одновременно в различных полосах приема.

На рис. 1 представлена структурная схема многоканального микроволнового радиометра, с которой решается задача повышения флуктуационной чувствительности при работе радиометра в режиме нулевых измерений. Радиометр состоит из антенны  $A$ , входного блока,  $N$  идентичных измерительных каналов, микроконтроллера. Входной блок содержит направленный ответвитель  $HO$ , в котором к сигналу антенны  $T_a$  добавляется опорный сигнал  $T_{\text{доп}}$  из канала подшумливания, состоящего из управляемого источника тока  $УИТ$ , генератора шума  $ГШ$ , аттенюатора  $Att$  и высокочастотного ключа  $Kl$ . В последнем происходит широтно-импульсная модуляция сигнала

генератора шума по поступающему с выхода микроконтроллера управляющему сигналу  $t_{\text{шип}}$ .

С выхода направленного ответвителя сигнала антенны и модулированный сигнал генератора шума проходят на вход высокочастотного селектора  $BC$ , в котором данные сигналы подвергаются амплитудно-импульсной модуляции по сигналам  $t_{\text{аим}}$  микроконтроллера. Выходы  $BC$  соединены с входами  $n$  ферритовых циркуляторов  $Ц$ .

Вторые входы циркуляторов нагружены согласованными нагрузками  $CH$ . Тепловое излучение согласованных нагрузок является вторым опорным сигналом  $T_{\text{оп}}$ . Подогрев согласованных нагрузок осуществляется с помощью локальных терmostатов  $LT$ . Регулировка температуры осуществляется в процессе калибровки радиометра занесением в  $LT$  цифровых кодов по интерфейсу с микроконтроллером.

Второй опорный сигнал  $T_{\text{доп}}$  регулируется двумя способами: изменением тока  $УИТ$ , протекающего через активную зону полупроводникового  $ГШ$ , и изменением поглощения в аттенюаторе  $Att$ .

Идентичные измерительные каналы состоят из радиометрических приемников с усилением сигналов по высокой и низкой частотам и квадратичным детектированием. После низкочастотной фильтрации в синхронных фильтрах  $СФ$  сигналы через схемы исключения постоянной составляющей  $СИЛС$  поступают на входы аналоговых компараторов  $K$ , работающих в режиме нуль-органа (вторые входы компараторов соединены с общей точкой схемы радиометра). Следовательно, компараторами определяется полярность напряжения. Выходные сигналы всех измерительных каналов в логических уровнях поступают на  $n$  входов микроконтроллера.

Работа радиометра иллюстрируется временными диаграммами на рис. 2. Как было показано

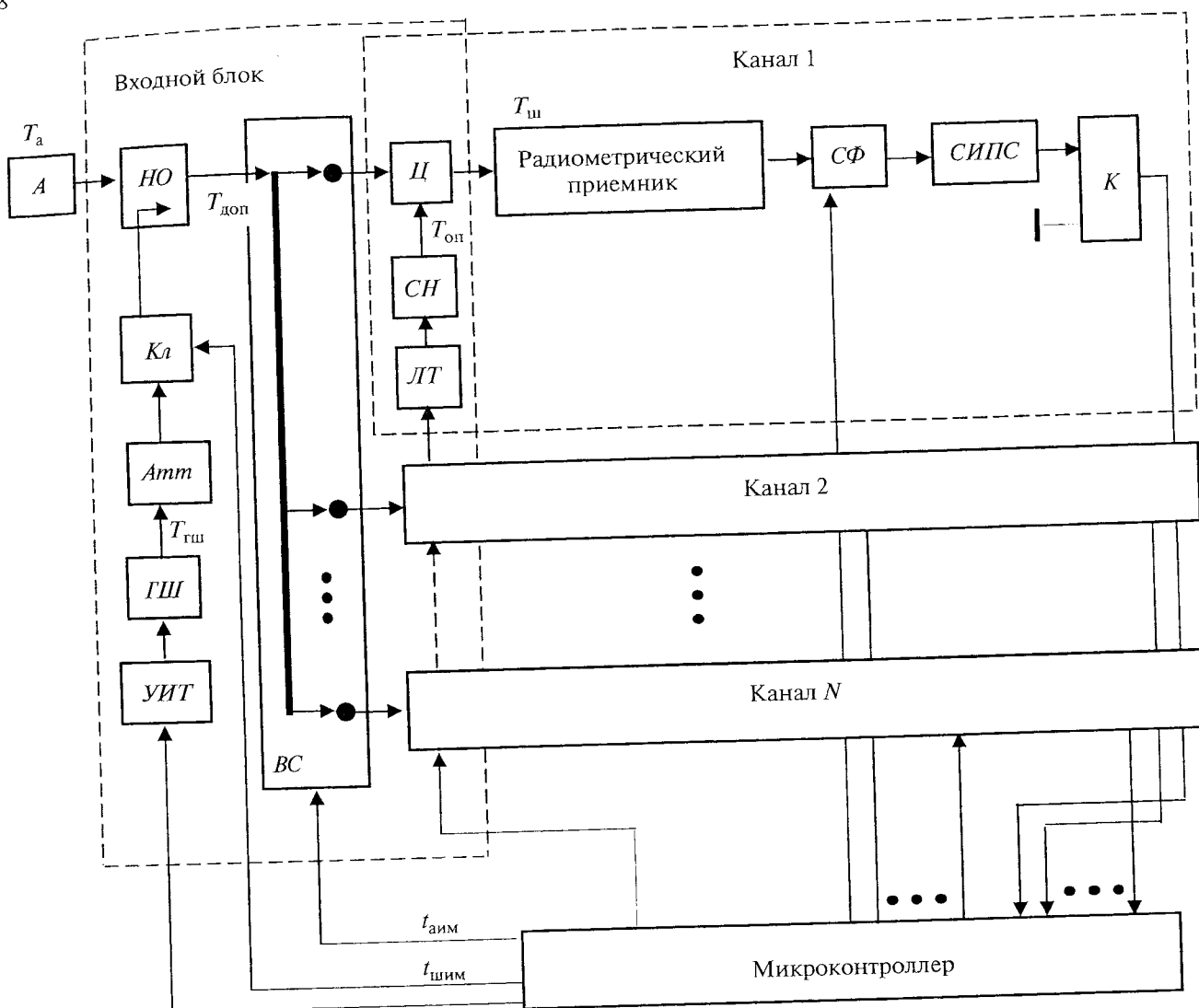


Рис. 1. Структурная схема многоканального радиометра нулевого метода измерений.  $A$  – антенна;  $HO$  – направленный ответвитель;  $Kl$  – в.ч.-ключ;  $Amm$  – аттенюатор;  $\Gamma\!SH$  – генератор шума;  $УИТ$  – управляемый источник тока;  $BC$  – в.ч.-селектор;  $II$  – ферритовый циркулятор;  $CH$  – согласованная нагрузка;  $LT$  – локальный термостат;  $С\!Ф$  – синхронный фильтр;  $СИПС$  – схема исключения постоянной составляющей;  $K$  – компаратор.

выше, во входном блоке радиометра синхронно выполняются два вида импульсной модуляции: амплитудно-импульсная и широтная. Амплитудно-импульсная модуляция сигнала антенны и генератора шума происходит в высокочастотном селекторе по управляющим сигналам  $t_{\text{aim}}$  микроконтроллера (рис. 2а). Широтно-импульсная модуляция сигнала генератора шума выполняется в высокочастотном ключе  $Kl$  по управляющему сигналу  $t_{\text{шим}}$  (рис. 2б): к сигналу антенны в направленном ответвителе  $HO$  добавляется из канала подшумлиивания опорный сигнал

$$T_{\text{доп}} = [T_{\text{гш}}\alpha + T_0(1 - \alpha)]\beta + T_0(1 - \beta) - T_0, \quad (1)$$

где  $T_{\text{гш}}$  – эффективная температура выходного сигнала генератора шума;  $T_0$  – физическая температура платы, на которой установлены  $HO$  и  $Amm$ ;

$\beta$  – коэффициент передачи направленного ответвителя;  $\alpha$  – коэффициент передачи аттенюатора.

Подключение к антenne каждого из приемных каналов выполняется по принципу временного разделения. В высокочастотном селекторе тракт антенн последовательно подключается на входы каналов, начиная с первого. В любой момент времени подключенным оказывается только один канал на одинаковое для всех каналов время  $t_{\text{aim}}$  и в этом промежутке выполняется широтно-импульсная модуляция выбранного канала. Таким образом, период повторения сигнала управления амплитудно-импульсной модуляцией составляет  $n t_{\text{aim}}$ . В остальное время, когда канал не подключен к антenne, стабильный шумовой сигнал  $T_{\text{оп}}$  согласованной нагрузки отражается от закрытого

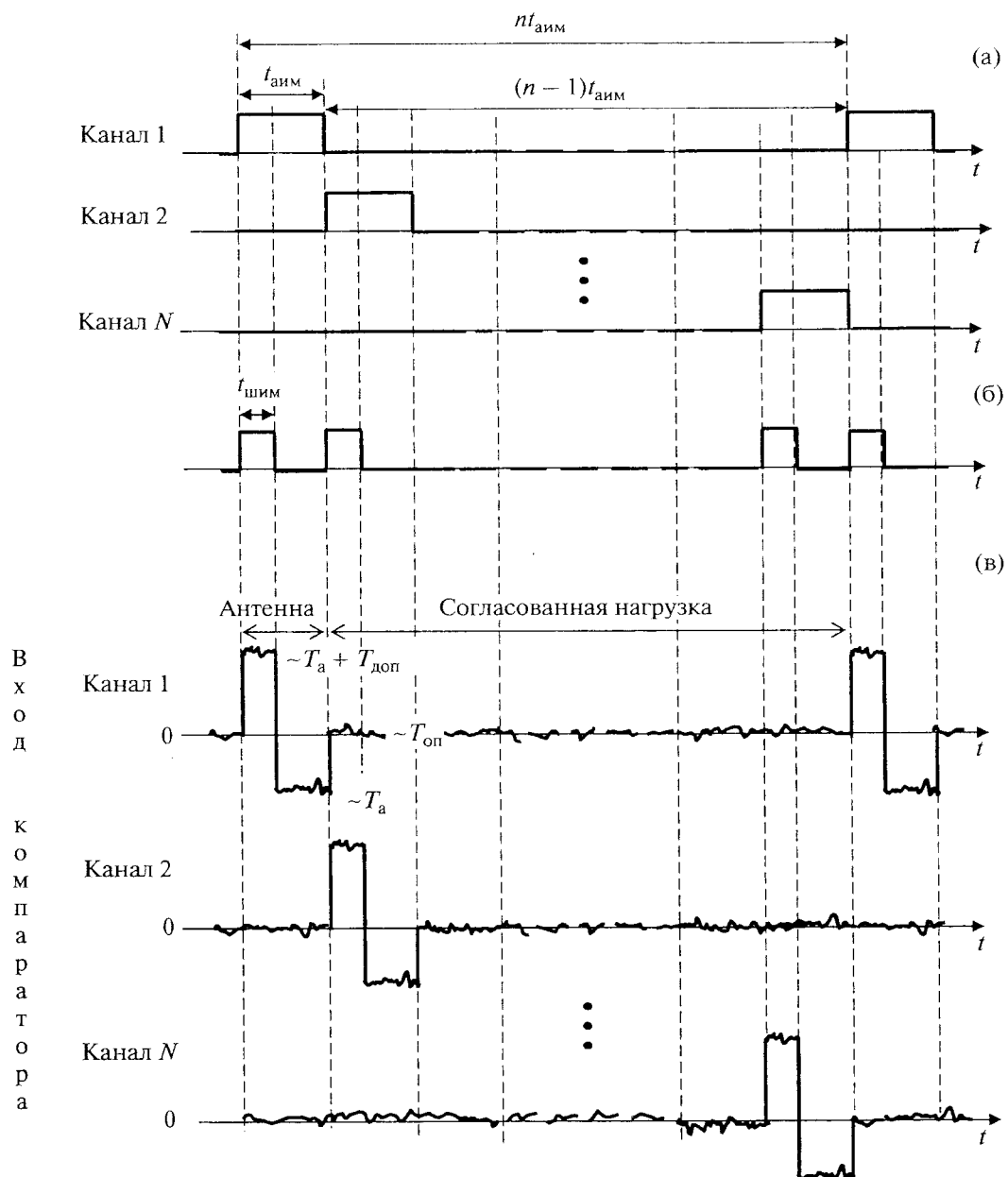


Рис. 2. Временные диаграммы, поясняющие принцип функционирования многоканального радиометра.

ключа селектора и через циркулятор поступает на вход приемника. Таким образом, накопление опорного сигнала согласованной нагрузки для каждого канала возрастает в  $n$  раз.

Дополнительной широтно-импульсной модуляцией устанавливается нулевой баланс в приемных каналах радиометра, когда минимизировано влияние на точность измерений изменений коэффициентов передачи измерительных трактов каналов и составляющих канальных собственных шумов. Через эту длительность управляющего широтного сигнала  $t_{\text{шим}}$  определяется антенный сигнал  $T_a$  по следующей формуле [5]:

$$T_a = T_{\text{оп}} - T_{\text{доп}} \left( t_{\text{шим}} / t_{\text{aim}} \right). \quad (2)$$

Значения максимального и минимального сигналов антенны находятся из формулы (2) подстановкой в нее длительностей  $t_{\text{шим}}$ , равных соответственно нулю и длительности  $t_{\text{aim}}$ :  $T_{\text{a max}} = T_{\text{оп}}$ ,  $T_{\text{a min}} = T_{\text{оп}} - T_{\text{доп}}$ . Следовательно, верхняя граница диапазона измерения определяется температурой согласованной нагрузки циркулятора, нижняя — сигналом генератора канала подшумливания входного устройства радиометра. Настройкой выходного сигнала генератора шума на значение  $T_{\text{доп}} = T_{\text{оп}}$  можно измерять сигналы антенны от нуля градусов термодинамической шкалы Кельвина.

Кроме управления модуляцией во входном блоке микроконтроллер также управляет работой синхронных фильтров в каналах. Синхронный низкочастотный фильтр состоит из трех конденсаторов (по числу коммутируемых на вход приемника канала сигнальных уровней, рис. 2в) и общего сопротивления (интегрирующая  $RC$ -цепь). В любой момент времени к общей точке радиометра подключается через электронный ключ только один из трех конденсаторов, который фильтрует соответствующий уровень сигнала. Постоянная времени цепи  $\tau$  выбирается из условия  $\tau = (10-20)t_{\text{аим}}$ .

Схема исключения постоянной составляющей СИПС представляет собой фильтр высоких частот первого порядка (разделительная  $CR$ -цепь), постоянная времени которой выбирается равной  $\tau$  цепи синхронного фильтра.

Как следует из описанного принципа работы многоканальной системы, время накопления опор-

ного сигнала согласованной нагрузки в каждом канале возрастает и становится равным  $t_{\text{аим}}(n - 1)$ . Для заметного слаживания флюктуирующей компоненты шумового опорного сигнала постоянную времени  $\tau$  цепи синхронного фильтра, накапливающей сигнал согласованной нагрузки, необходимо увеличить в  $(n - 1)$  раз соответствующим увеличением емкости конденсатора. При увеличении времени наблюдения опорного сигнала его постоянная составляющая согласно закону больших чисел становится слабо шумящей, что подобно работе компенсационного радиометра (радиометра полной мощности, обладающего самой высокой чувствительностью среди различных схем), в котором происходит сравнение с нешумящим источником — источником образцового напряжения.

Тогда флюктуационная чувствительность  $\Delta T_a$  всей измерительной многоканальной системы возрастает в количестве раз, равное корню квадратному из числа каналов [6]:

$$\Delta T_a = \frac{B}{\sqrt{n}}, \quad B = \frac{\sqrt{T_{\text{оп}}(T_{\text{оп}} + T_{\text{доп}} + 4T_{\text{ш}}) + 2T_{\text{ш}}^2} - T_a(T_a + T_{\text{доп}} - 2T_{\text{оп}})}{\sqrt{2df\tau R}}, \quad (3)$$

где  $df$  — полоса принимаемых радиометром частот;  $T_{\text{ш}}$  — эффективные температуры собственных шумов идентичных приемников;  $R$  — количество цифровых кодов антенного сигнала, накопление и усреднение которых происходит в микроконтроллере.

На рис. 3 приведена принципиальная схема входного узла радиометрической системы на длину волны 21 см, содержащая четыре канальные приемники и построенная по принципу многоканальной схемы, изображенной на рис. 1. Во входном блоке амплитудная и широтная импульсные модуляции выполняются в соответствующих схемах  $M_1$  и  $M_3$  высокочастотных ключей неотражательного типа.

Направленный ответвитель  $M_2$  выполнен на микрополосках с коэффициентом связи  $-16$  дБ и направленностью  $23$  дБ. В генераторе шума  $M_4$  используется полупроводниковый лавинно-пролетный диод. Перед поступлением шумового сигнала в  $M_2$  происходит его ослабление в фиксированном резистивном аттенюаторе  $R_1-R_3$  на  $14$  дБ. Генератор вырабатывает избыточный белый шум уровнем  $31$  дБ в диапазоне до  $5$  ГГц и температурным коэффициентом, составляющим не более  $0.01$  дБ/ $^{\circ}$ C.

В процессе калибровки радиометра изменение выходной мощности сигнала осуществляется регулировкой тока через активную зону генератора в пределах  $0.2-5$  мА. Настройка тока осуществляется 8-разрядным цифровым потенциометром  $M_5$  с операционным усилителем  $M_6$ . Изменение тока происходит на дискретные значения по  $20$  мкА.

Цифровые коды в  $M_5$  заносятся с микроконтроллера по интерфейсу SPI.

Подобным образом происходит регулирование температуры второго опорного источника — согласованной нагрузки циркулятора  $M_7$ . Для этого используется четырехканальный цифровой потенциометр  $M_9$  и счетверенный операционный усилитель  $M_{10}$ . С помощью этих микросхем регулируется ток через полевой транзистор  $T$  и соответственно изменяется его нагрев. Максимальный нагрев соответствует выделяемой в нем мощности  $\approx 0.5$  Вт. Мощность нагрева регулируется через равные дискретные значения, соответствующие  $21$  мВт. Транзистор находится в тепловом контакте с согласованной нагрузкой циркулятора, а с ними в таком же контакте и цифровой 16-битный интегральный датчик температуры  $M_8$ , управляемый по интерфейсу SPI. Точность терmostатирования согласованной нагрузки составляет  $\pm 0.01^{\circ}$ C.

Измерительные каналы состоят из приемников прямого усиления. Сформированный во входном блоке сигнал подается на малошумящий транзисторный с.в.ч.-усилитель с полосовым фильтром, который обеспечивает линейное усиление сигнала по мощности на  $60$  дБ в полосе  $1.385-1.435$  ГГц. Выход усилителя нагружен на квадратичный детектор ZX47-60-S, преобразующий мощность поступающего на его вход комбинировано-модулированного сигнала в выходное напряжение. Сигнал с выхода детектора подается на импульсный усилитель и после фильтрации в синхронном фильтре низкой частоты, через схему

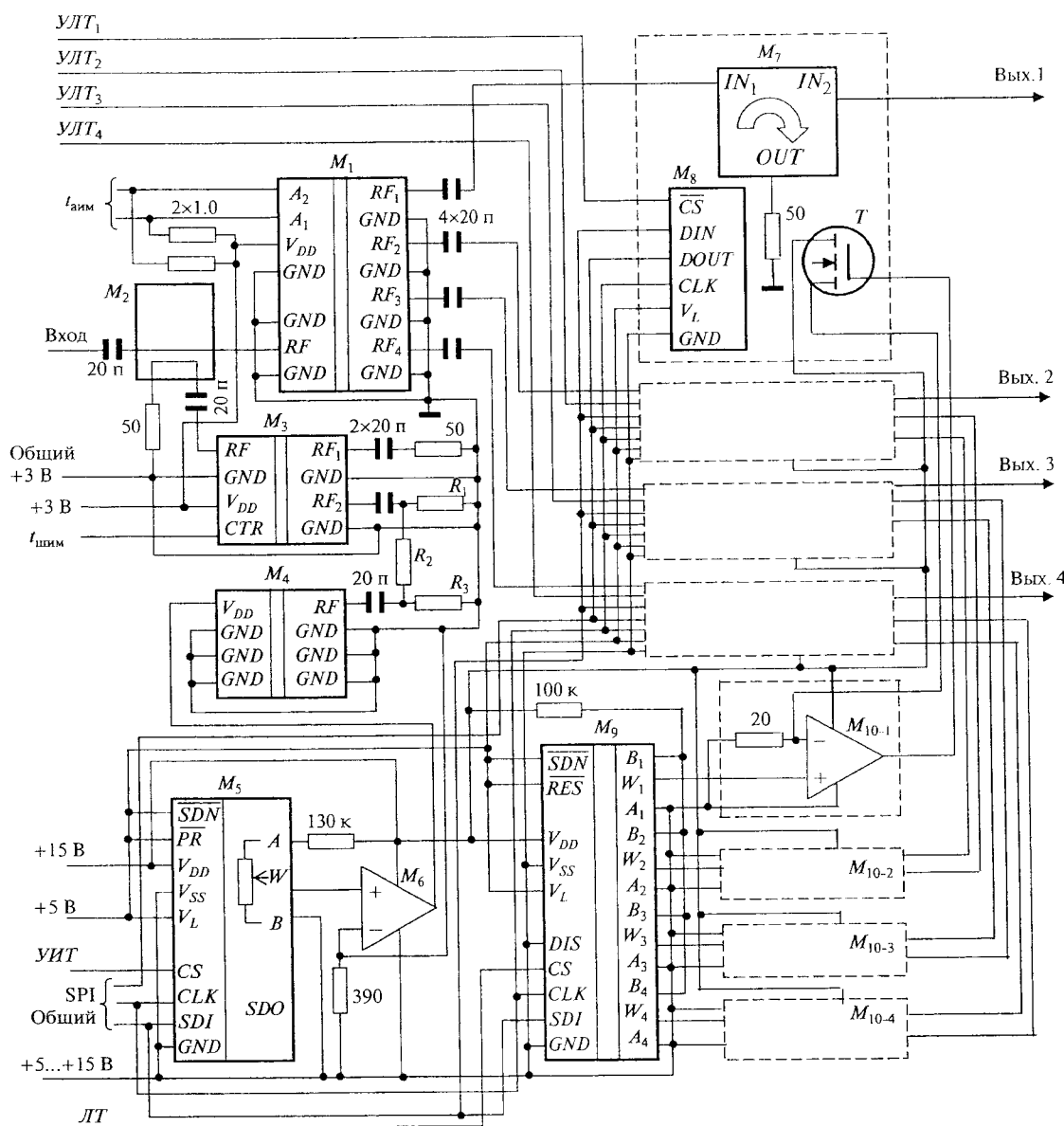


Рис. 3. Входной блок четырехканального радиометра. M<sub>1</sub> – PE42440, M<sub>2</sub> – микрополосковый направленный ответвитель, M<sub>3</sub> – PE4210, M<sub>4</sub> – NC506/12SM, M<sub>5</sub> – AD5260BRU20, M<sub>6</sub> – OP1177ARM, M<sub>7</sub> – ФПВН3-23-1.4, M<sub>8</sub> – ADT7320, M<sub>9</sub> – AD5263BRU20, M<sub>10</sub> – OP4177ARM; T – FDU301N; R<sub>1</sub> = R<sub>3</sub> = 74.71 Ом, R<sub>2</sub> = 120.9 Ом.

му исключения постоянной составляющей поступает на вход компаратора.

Внутренняя калибровка радиометра выполняется по двум подключаемым на вход радиометра (вместо антенны) эталонам последовательно по всем четырем каналам. Калибровка проводится в полуавтоматическом режиме по управляющим сигналам микроконтроллера и начинается с подключения эталона, определяющего верхнюю границу диапазона измерения. На этом этапе калибровки сигнал подшумливания выключен, что осуществляется установкой длительности t<sub>ши</sub> равной нулю.

Температура согласованной нагрузки каждого канала регулируется изменением температуры нагревателя (транзистора T) соответствующим занесением кода в цифровой потенциометр M<sub>9</sub> через последовательный интерфейс SPI с разрешающим сигналом микроконтроллера LT. Для каждого канала регулировка температуры согласованной нагрузки осуществляется до момента исчезновения сигнала частоты модуляции на входе соответствующего канального компаратора. На его выходе будут случайно повторяющиеся переходы между уровнями логических нуля и единицы.

Цифровые коды интегральных датчиков температуры  $M_8$  для каждого из четырех каналов при наличии разрешающих сигналов на линиях УЛТ<sub>1</sub>–УЛТ<sub>4</sub> в последовательном формате поступают в микроконтроллер, где сохраняются в долговременной памяти. Также сохраняются в долговременной памяти микроконтроллера и коды, поступающие на цифровой потенциометр для регулирования температуры транзистора. Последние, при включении радиометра, в процессе его начальной загрузки поступают на соответствующие потенциометры каналов микросхемы  $M_9$ , что приводит к выведению температур согласованных нагрузок на режим. Дальнейшее поддержание температур опорных нагрузок при изменении температуры рабочей среды осуществляется по показаниям интегральных датчиков  $M_8$ .

После того как все приемные каналы отрегулированы на верхнюю границу диапазона измерений, на вход радиометра подключается эталон, определяющий нижнюю границу диапазона. Микроконтроллером сигнал  $t_{\text{шум}}$  устанавливается равным  $t_{\text{акт}}$ , т.е. на протяжении этого этапа калибровки канал подшумливания постоянно включен. Регулировка осуществляется во входном блоке радиометра изменением тока, протекающего через генератор шума  $M_4$ , соответствующим изменением цифрового кода, заносимого в управляющий адаптер источника тока (микросхему  $M_5$ ) по стробирующему сигналу микроконтроллера УЛТ. На нижнюю границу диапазона каждый канал настраивается до исчезновения сигнала частоты модуляции на выходе соответствующего канального компаратора (аналогично первому этапу калибровки).

Таким образом, в микроконтроллере формируются для каждого канала свои коды для управляющего генератором шума источника тока. В хо-

де работы радиометра данные коды следуют синхронно и каждый раз, когда выход антенны соединяется с выходом следующего канала, изменяют мощность сигнала подшумливания.

Между входным блоком и сигналами микроконтроллера осуществляется гальваническая развязка с помощью микросхем серии ADUM, также и по цепям блоков питания.

В ходе экспериментальных исследований проводилась перестройка режимов работы радиометра. Рассматривались режимы работы по одноканальным схемам. Испытания показали, что в четырехканальном режиме система обладает в два раза более высокой чувствительностью, чем одноканальная схема, что хорошо согласуется с теоретическими выводами. Четырехканальная схема также обладает более высокой надежностью работы. При выходе из строя одного из каналов немного уменьшалась чувствительность всей системы при сохранении ее полной работоспособности.

Работа выполнена при финансовой поддержке РФФИ, грант № 09-08-99106.

#### СПИСОК ЛИТЕРАТУРЫ

1. Филатов А.В., Винокуров В.М., Мисюнас А.О. // ПТЭ. 2009. № 1. С. 90.
2. Филатов А.В., Сербинов О.А., Убайчин А.В. Патент 2393502 РФ. G01R 29/26, G01S 13/95 // БИ. 2010. № 18. С. 254.
3. Филатов А.В., Карамаева Н.А., Лощилов А.Г. // ПТЭ. 2006. № 6. С. 82.
4. Филатов А.В. // Приборы. 2007. № 10. С. 28.
5. Филатов А.В., Карамаева Н.А., Лощилов А.Г. // Успехи современной радиоэлектроники. 2006. № 10. С. 3.
6. Филатов А.В. Нулевой метод в радиометрических измерениях. Томск: ТУСУР, 2010.